

Н.І. Сабадах, Г.О. Сіренко

Вплив наночастинок пірогенного кремнезему на антифрикційні властивості пластичних мастил на основі перфторполієфірів

*Прикарпатський університет імені Василя Стефаника,
вул. Галицька, 201, м. Івано-Франківськ, 76000, Україна, E-mail: nli@optima.com.ua*

Приведені результати дослідження мастильних композицій на основі перфторполієфірів, загущених діоксидом кремнію під час зношування в точковому контакті поверхонь твердих тіл. Показано, залежність зношування сталі ШХ-15 від питомої поверхні наночастинок кремнезему, введених у пластичні мастила на основі перфторполієфірів.

Ключові слова: мастило, точковий контакт, кремнезем, питома поверхня, перфторполієфір.

Стаття постуила до редакції 15.01.2010; прийнята до друку 15.06.2010.

Вступ

Мастильні матеріали на основі перфторполієфірів (ПФПЕ) широко застосовують у вузлах тертя авіаційного устаткування [1-15], атомних двигунів [1-3, 7, 9-12], насосів для перекачування вуглеводневої сировини [1,2,9] і рідкого кисню [7,16], а за останній час – у звуко- і відеозаписуючій апаратурі [2,7,9]. ПФПЕ мають високу механічну стабільність [7], мастильні [1,4,9-11] протизношувальні [10], а та протизадирні властивості [7, 12].

Важливими компонентами пластичних мастильних матеріалів, які забезпечують довготривалу роботу вузлів тертя, є загущуючі речовини та спеціальні добавки. Для покращення властивостей пластичних мастил до них додають від 2 до 10 % загусника. Загусники істотно покращують низку характеристик мастильних матеріалів: окислювальну стабільність, термостійкість, захисні та антифрикційності, підвищують адгезію до металів, колоїдну стабільність тощо [17,18]. Дослідження протизадирних та протизношувальних властивостей перфторполієфірів, загущених нано- і мікрочастинами твердих матеріалів та їх стійкості до твердих окислювачів показали на високу ефективність пластичних мастил на їх основі [19-23].

Одними з таких матеріалів є наночастинок пірогенного діоксиду кремнію марок А-175, А-200, А-300, А-380 з розміром 0,1-10 нм і питомою поверхнею 175-380 м²/г. Разом з тим, відсутні дослідження про вплив питомої поверхні загущуючих матеріалів – аеросилів на протизносні

властивості мастильного рідкого середовища, зокрема такого як ПФПЕ.

Мета роботи полягала у дослідженні впливу питомої поверхні наночастинок пірогенного кремнезему на протизношувальні властивості пластичних мастил на основі ПФПЕ в умовах високих навантажень пі час тертя сталі ШХ-15.

І. Експериментальна частина

1.1. Матеріали. Для експерименту були створені мастила на основі ПЕФ-130/110 з вмістом наповнювача 2% – максимальний вміст, при якому створюється пластичне мастило без розділу фаз.

1.2. Методи дослідження. Створені мастильні матеріали досліджували на протизношувальні властивості на чотирикульовій машині тертя (ЧКМТ) типу ХТІ-72 [19-33]: калібровані кульки зі сталі ШХ-15 (HRC 60-62) діаметром 12,7 мм. Протизношувальні властивості визначали за діаметром плями зносу за 5 хв. випробувань при нормальному навантаженні на одну (N_i) кульку N_i = 122,58-1021,5 Н при загальному N = 300 ÷ 2500 Н і кількості обертів верхньої кульки 1470 за хв.

Тертя та зношування сталі в присутності ПФПЕ вивчали на чотирикульовій машині тертя (ЧКМТ) [40-53]. Висока чутливість точкового контакту до процесів, що виникають і супроводжують тертя та зношування твердих тіл, спонукали вибрати для дослідження схему контакту «куля-куля», який реалізується в чотирикульовій машині тертя. Схема контакту на ЧКМТ представлена на рис. 1.

Чотири кульки для вальниць діаметром 12.7 мм зі сталі ШХ-15 (HRC 60-65), були складені у піраміду. Три долішні кульки були поміщені у підп'ятник і закріплені притискним кільцем. Горішня кулька жорстко була зафіксована у спеціальному патроні на кінцівці прямовисного валу [24, 25].

Геометрія тетраедра (рис. 1) визначала значення лінійної швидкості у зоні контакту v , величину нормальної складової N_i , на 1 кульку в теоретичній точці контакту осьової сили N на 3 кульки та момент тертя (коефіцієнт тертя μ) [25]:

$$x = \frac{dw}{2} \sin \alpha = 0,576pdn \quad [м/с], \quad (1)$$

$$N_i = N/3\cos\alpha = 0,4086N \approx 0,41 [Н] \quad (2)$$

де $d=12,7 \cdot 10^{-3} [м]$ – діаметр кульок; $\omega = 2\pi n$ – кутова швидкість обертання горішньої кульки $[с^{-1}]$ (n – число обертів цієї кульки за секунду ω – частота обертання f); $\alpha=35^\circ 20'$ – кут між висотою і ребром правильного тетраедра (кут в основі піраміди з чотирьох кульок);

$$M = \frac{F}{N} = \frac{2rQ}{dNtga}, \quad (3)$$

де Q – сила, що згинала тензобалку; F – сила тертя; r – відстань від осі обертання верхньої кульки до точки дотику важеля з тензодавачем.

Випробування на навантажувальну здатність плівок мастильних олив проводили за 1140. 1470, 1495 обертів за хвилину горішньої кульки (частота $f = 19с^{-1}, 24,5с^{-1}, 24,9с^{-1}$), що відповідало лінійній швидкості у зоні контакту $v = 0,4384 м/с, 0,5628 м/с$ і $0,5723 м/с$ відповідно.

При визначенні навантаження заїдання – ікритичного навантаження $N_{ікр}$, при якому спостерігається підвищений знос сталі, навантаження N змінювали ступенями від 100-200 Н до $N < N_{кр}$ та $N > N_{кр}$, а в ділянці $N = N_{кр}$ – через 10-25 Н. Кожний дослід тривав 1 хв. і проводився окремо з новою порцією мастила. ЧКМТ була обладнана тензометричним пристроєм і потенціометром КСП-4, що дозволяло перехід до $N_{кр}$ фіксувати за різким зростанням моменту тертя (коефіцієнта тертя). Температура мастильної оливи визначали за $\sim 2,5$ мм від зони контакту, яка в момент задиру становила 393 К.

Характеристика чотирикульової машини тертя зведена в табл. 1.

Початковий p_0 та у кінці випробування p_k тиски у зоні контакту, що витримувала мастильна плівка, розраховували за [24]:

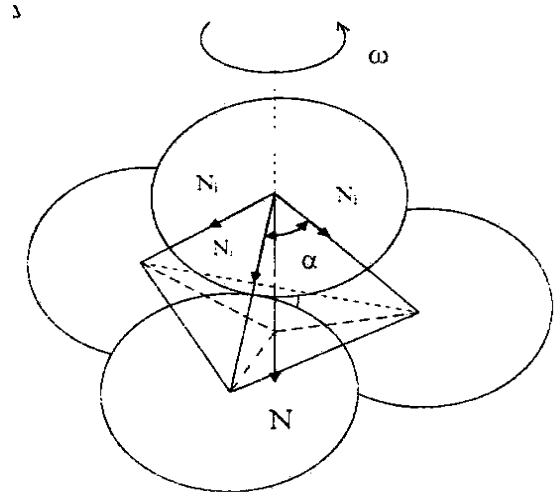


Рис. 1. Контакт, який реалізується при терті кульок ШХ-15 на ЧКМТ.

$$p_0 = \frac{N_i}{\frac{pd_3^2}{4}} \quad (4)$$

$$p_k = \frac{N_i}{\frac{pd_3^2}{4}} \quad (5)$$

де d_3 – діаметр плями зношування для однієї кульки; d_r – діаметр плями пружної деформації за Герцем, розрахований за формулою [25, 26], для однієї кульки:

$$d_r = 1,76 \sqrt[3]{\frac{N_i d}{E}} = 0,040948 \sqrt[3]{N} \quad [мм], \quad (6)$$

де $E=206010 [Н/мм^2]$ – модуль пружності Юнга сталі ШХ-15. N_i, N в $[Н]$, d в $[мм]$.

Оцінку протизношувальних властивостей мастильних плівок здійснювали також за діаметром плями зносу при $N = 200 Н$ ($N_i = 82 Н$), температура за $-2,5$ мм від зони контакту, що визначена термомпарою ХК і вторинним приладом – потенціометром КСП-4, становила $318 \pm 5 К$ за 1-4 год. випробувань.

II. Результати та обговорення

Як видно з рис. 2 та 3 і табл. 2 зі збільшенням питомої поверхні аеросилів покращуються протизношувальні властивості мастильних матеріалів

Таблиця 1

Характеристика машини тертя

Ступінь	Швидкість обертання верхньої кульки (без навантаження)		Відносна швидкість ковзання поверхонь тертя кульок, м/с, при осьовому навантаженні, Н				Середня швидкість ковзання в інтервалі навантажень 0-4500 Н, м/с
	об/хв	м/с	500	1500	3000	4500	
1	610	0,2335	0,233	0,232	0,230	0,226	0,23
2	1520	0,582	0,580	0,578	0,571	0,560	0,57
3	3500	1,341	1,338	1,334	1,322	1,303	1,33

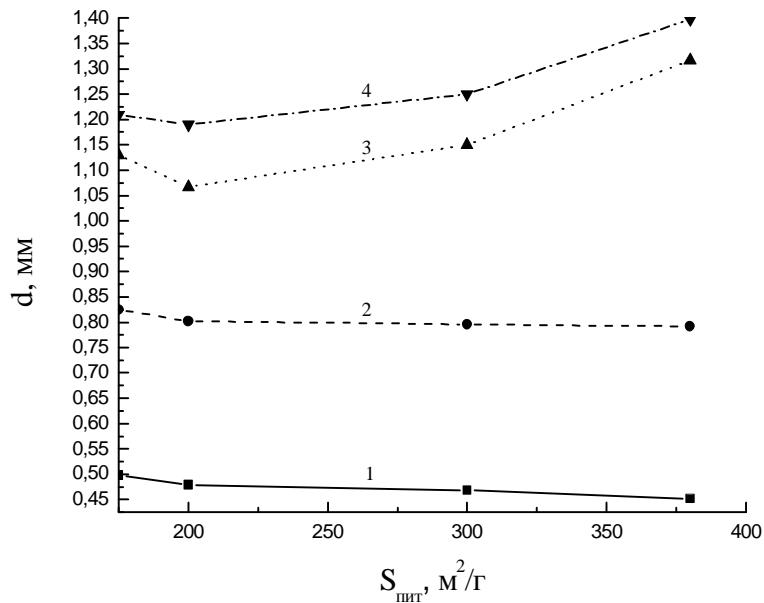


Рис. 2. Залежність діаметра плями зносу (d) від питомої поверхні наночастинок аеросилів ($S_{\text{питт}}$) при зношуванні кульок зі сталі ШХ-15 в середовищі мастильного матеріалу на основі ПЕФ-130/110: 1 – А-380; 2 – А-300; 3 – А-200; 4 – А-175.

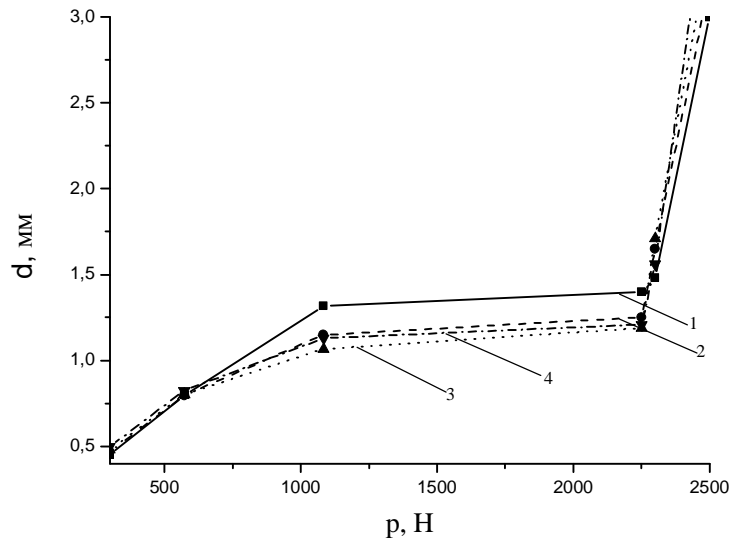


Рис. 3. Залежність діаметра плями зносу (d) від осевого навантаження (p) в середовищі мастильного матеріалу на основі ПФПЕ загущеного: 1 – А-380; 2 – А-300; 3 – А-200; 4 – А-175.

на основі ПФПЕ. Зокрема, при низьких навантаженнях ($N_i = 234 \text{ Н}$) спостерігаються наступна закономірність: зі збільшенням питомої поверхні пірогенного діоксиду кремнію діаметр плями зносу зменшується ($S_{\text{питт}} = 175\text{-}380$, $d \div 0,792\text{-}0,825$).

Якщо дослідити, як поведуть себе загущувачі при більш вищих навантаженнях, то закономірності впливу дисперсності матеріалу не прослідковується, оскільки в цьому випадку характерні більш високі контактні температури і відіграють більшу роль хемотрибологічні процеси, а не структурні характеристики.

Отже, при використанні наночастинок аеросилів в якості загущувачів, характерна ефективність впливу дисперсності їх при навантаженнях $N_i = 123\text{-}234 \text{ Н}$, оскільки при збільшенні питомої поверхні загущувача покращується колоїдна стабільність і

підвищується адгезія до металу [17,18], таким чином при збільшенні S зменшується d . Проте при більш вищих навантаженнях не спостерігається такої закономірності, це можна пояснити більш суттєвим впливом трибохімічних характеристик (тертя, зношування), ніж хімічних.

Висновки

1. Встановлено, що зі збільшенням питомої поверхні кремнезему - загущувача в пластичних мастилах на основі лінійних перфторполієтерів покращуються протизношувальні властивості мастильних матеріалів на основі перфторполієтерів: зокрема, при низьких навантаженнях ($N_i = 234 \text{ Н}$) спостерігаються наступна закономірність: зі збільшенням питомої поверхні пірогенного діоксиду кремнію від 175 до 380 $\text{м}^2/\text{г}$ діаметр плями зносу

Прогнозуювальні властивості мастильних композицій на основі ПФПЕ марки ПЕФ-130/110 та 2% пірогенного аеросилу

Пірогенний аеросил	ω напов. %	Густина мастила, кг/см ³	Температура краплепадіння, К	Діаметр плями зносу сталі ШХ-15, мм при осьовому (нормальному) навантаженні, Н					
				300 (123)	573 (234)	1080 (443)	2251 (920)	2300 (940)	2500 (1022)
-	2	1850	369,7	0,798	0,971	1,242	1,443	2,500	3,600
A-175	2	1850	370,2	0,498	0,825	1,130	1,210	1,410	3,800
A-200	2	1845	371,2	0,479	0,802	1,067	1,190	1,360	3,400
A-300	2	1845	371,7	0,468	0,796	1,150	1,250	1,390	3,200
A-380	-	1890	-	0,452	0,792	1,317	1,398	1,480	3,000

зменшується при випробуванні на чотири кульовій машині тертя від 0,792 до 0,825.

2. При загушенні високодисперсним кремнеземом спостерігається наступна закономірність: температура перехідних процесів тертя в присутності мастил зміщуються в низькотемпературну ділянку по відношенню до базової рідини і область заїдання для мастил не виражена ($\mu = 0,20-0,26$).

3. Таким чином, введення органічних немодифікованих аеросилів в якості загусника до базової оливи перфторполіетерів можна запобігти

процесу інтенсивного заїдання до 623 К, а регулюючи ступінь наповнення системи ПФПЕ-загусник, можна приготувавши пластичні мастила різної консистенції і міцності, які б працювали при граничному терті.

Сіренко Г.О. – доктор технічних наук, професор, завідувач кафедри прикладної і теоретичної хімії;
Сабадах Н.І. – викладач кафедри прикладної і теоретичної хімії;

1. Lawson Neal D // *Aircraft Eng.*, **58**(2), pp. 2-9 (1986).
2. L. Habbi, C. Corti // *Tribol. e'Lubrific*, **20**(3), pp. 109-116 (1985)
3. W. Schwickerath // *Tribol. und Schmierung*, Bd **34**(1), pp. 22-38 (1987).
4. G.Y. Caporiccio // *Fluorine Chem.*, **33**(1-4), pp. 314-320, (1986).
5. С.Е. Snyder, J.R. Gschwender. // *Ibid*, (8), pp. 458-465 (1986).
6. С.Е. Snyder. R. E. Dolle // *ASLE Trans*, **20** (3), pp. 171-180 (1976).
7. Перфторполиэферы как основа смазочных материалов/ В.Г. Мельников, Т.В. Попкова, Л.Б. Капустина, М.В. Доброва // *Химия и технология топлив и масел*, (4), сс. 36-38 (1990).
8. W.H. Gamprecht // *ASLE Trans*, (9), pp. 24-30 (1966).
9. С.Е. Snyder // *Lubric. Eng.*, **36**(3), pp. 160-167 (1980).
10. E. Cosmacini, V. Veronesi // *Wear*, **108**(3), pp. 269-283 (1986).
11. I. Lipp // *Lubric. Eng.* **24** (4), pp. 154-162 (1968).
12. J.T. Shehan // *NLJI Spokesman*, **34** (7), pp. 252-259 (1970).
13. J.B. Christian, C. Tamborski // *Lubric. Eng.*, **36** (11), pp. 639-642 (1980).
14. J.E. Christian, K.R. Bunting // *Ibid*, **23**(2), pp. 52-56 (1967).
15. С.Е. Snyder, L.F. Gschwender, C. Tamborski // *Ibid*, **37**(6), pp. 344-349 (1981).
16. F. Messina // *Lubric. Eng.*, **29** (10), pp. 449-453 (1973).
17. В.В. Сеницын. *Подбор и применение пластичных смазок*. «Химия», М. 376 с. (1969).
18. Особенности выбора смазочных материалов в соответствии с условиями их применения / К. И. Климов, В. М. Мартынов, В. А. Михеев и др. // *Труды ВНИИ НП*, (11), сс. 47-50, (1969).
19. Г.О. Сіренко, Н.І. Луцишин. Лінійні перфторполієфіри як основа хімічно та термостійких мастильних матеріалів // *Проблеми трибології*, (3), сс.64-75 (2003).
20. Г.О. Сіренко, Н.І. Луцишин. Вплив лінійних перфторполієфірів на автокаталітичний розклад перхлорату амонію та дослідження їх суміші на чутливість до удару і тертя // *Фізика і хімія твердого тіла*, **5**(2), сс. 330-337 (2004).
21. Г.О. Сіренко, Н.І. Луцишин. Вплив наночастинок загущувача пластичного мастила на взаємодію з перхлоратом амонію // *Фізика і хімія твердого тіла*, **5**(3), сс. 147-152 (2004).
22. Г.О. Сіренко, Н.І. Луцишин. Ефективність впливу органічних пігментів як загусників в пластичних мастилах на основі перфторполієфірів // *Проблеми трибології*, (3-4), сс. 118-122 (2004).
23. Г.О. Сіренко, Н.І. Луцишин. Дослідження термоокислювальної стійкості перфторполієфірів і пластичних мастил на їх основі при термічному розкладі ПХА // *Полімерний журнал*, **26** (3), сс. 181-185 (2004).
24. Г.А. Сиренко, А.С. Смирнов. Критерии оценки смазочной способности масел на четырехшариковой машине трения // *Сб. «Вопросы теории трения, износа и смазки»*. РИО Новочерк. политех, ин-та, Новочеркасск, 215, С. 38-42 (1969).
25. Гриневич, В.В. Цасюк, А.С. Смирнов. Специализированные машины трения // *Применение полимерных материалов*. Картя Молдовеняскэ, Кишинев, сс. 33-36 (1975).
26. Г.О. Сіренко, О.В. Кузишин, М.М. Добровольська. Антифрикційні властивості мастильних плівок,

утворених із водних розчинів K_2SiO_3 під час тертя та зношування сталі в точковому контакті // *Фізика і хімія твердого тіла*, **11**(2), 469-483 (2010).

N.I. Sabadakh, H.A. Sirenko

Influence Nanoparticles Fumed Silica on Antifrictional Properties Plastic Compositions on the Basis of Perfluoropolyethers

*Vasyl Stefanyk' Precarpathian National University,
57, Shevchenko Str., Ivano-Frankivsk, 76000, Ukraine*

The methods of determination of antifriction properties of lubricating compositions are considered on the basis of perfluoropolyethers and aerosyls at the contact of surfaces of solids.